

تحلیل المان محدود برای بررسی توزیع تنش در پروتز کامل دندان (fixed prosthesis) جهت انتخاب مناسبترین ماده برای ایمپلنت و فریم

مهندی طالبی
کارشناس ارشد

سیامک نجاریان
دانشیار

گروه بیومکانیک، دانشکده مهندسی پزشکی، دانشگاه صنعتی امیرکبیر

چکیده

در این مقاله یک آنالیز با روش المان محدود برای بررسی توزیع تنش سه بعدی در یک فیکس - پروتز (پروتز کامل دندانی) انجام شده است. این مدل شامل استخوان مدببل، ۶ ایمپلنت کاشته شده به همراه فریم می باشد. در این بررسی، سه ماده مختلف برای ایمپلنت (تیتانیوم Ti - آلیاز کرم کبالت Co - Cr) و ۴ ماده برای فریم (آلیاز تیتانیوم Ti-Al-V، آلیاز کرم کبالت Cr-Co، آلیاز نقره پالادیوم Ag-Pd و آلیاز طلا Au) تحلیل شده است. این مواد در مجموع ۱۲ ترکیب متفاوت را تشکیل می دهند که در ۱۲ مدل جداگانه تحلیل می شوند. یک نیروی عمودی N ۱۵۰ بر روی سطح دندان ها توزیع شده است و تنش های ایجاد شده بر روی ایمپلنت، فریم، پیچ های نگهدارنده و استخوان مدببل محاسبه شده است. از نتایج بدست آمده و مقایسه آنها با یکدیگر یک مدل با ترکیب آلیاز تیتانیوم برای ایمپلنت و آلیاز کرم کبالت برای فریم بهترین ترکیب تشخیص داده شد.

Finite Element Analysis to investigate the stress distribution in the mandibular fixed prosthesis for choose of optimam and best material for implant and frame

S. Najarian
Associate Professor

M. Talebi
M. Sc

Bio Mechanic Division,
Amirkabir University of Technology

Abstract

This study used three-dimensional finite element analysis to investigate the stress distribution in a mandibular fixed prosthesis with six implants. There are three different materials for implants (titanium alloy, pure titanium, chromium-cobalt alloy) and four different materials for frame (titanium alloys, chromium-cobalt alloys, palladium-silver alloys and gold alloy) that used in twelve models by different combination of materials. A total of 150 N vertical load is distributed over the teeth in the finite element model. The result shows that the concentrated stress in the screw will increase the risk of prosthesis failure. We obtained the best model with Cr-Co alloys for both implant and frame or for second choice Cr-Co alloys for frame and titanium alloy for implant.

لغات کلیدی

ایمپلنت دندانی، فریم، پروتز کامل دندانی، المان محدود

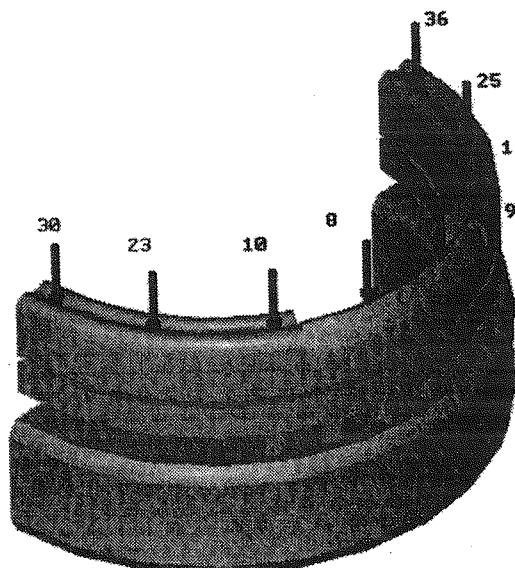
مقدمه

در بخش انتخاب بیومتریال های دندانی ما با محدودیت هایی روبرو هستیم و محدوده انتخاب ما چندان وسیع نیست. چون علاوه بر خواصی که همچون سایر بیومتریال ها باید دارا باشند، باید دارای استحکام و مقاومت در مقابل بارهای کششی و فشاری بالا و تنש های خستگی باشند. این محدودیت زمانی تشدید می شود که بدانیم پروتزهای دندانی دارای ابعاد بسیار کوچکی هستند. از موارد ذکر شده می توان چنین نتیجه گیری نمود که مطالعات مکانیکی بر روی این اجزاء می تواند حائز اهمیت باشد. در این تحقیق یک پروتز دندان کامل fixed prosthesis که متشکل از ۶ ایمپلنت که در استخوان فک پایین کاشته شده اند به علاوه سایر اجزاء با روش المان محدود طراحی شده و تحلیل تنش شده است. در این مطالعه سه ماده مقاومت برای ایمپلنت و ۴ ماده برای فریم در نظر گرفته شده است و تلاش شده است تا بهترین ترکیب از این مواد با توجه به حداقل تنش در تمام اجزاء انتخاب گردد.

مدلسازی کامپیوتوی

مدلسازی در محیط نرم افزار ANSYS 5.4 انجام پذیرفت.

مدل ساخته شده متشکل از یک قوس استوانه ای که جایگزین استخوان فک شده است و دارای دو لایه است. یک لایه بیرونی به ضخامت 5.0 mm از جنس استخوان کورتیکال و بخش داخلی که همان استخوان اسفنجی (cancellous bone or spongy bone) است. شش ایمپلنت در فواصل مساوی داخل استخوان فک کاشته شده اند. قطر ایمپلنت ها 4 mm و ارتفاع آنها 12 mm در نظر گرفته شده است. پس از جایگذاری ایمپلنت ها، فریم بر روی این ایمپلنت ها قرار می گیرد که به وسیله شش پیچ به آنها پیچ می گردد و دندان ها در نهایت روی فریم چیده می شوند. این فریم در قسمت انتهایی استخوان فک به صورت cantilever می باشد و تنها بر روی بافت لثه می نشیند. نحوه اتصال فریم به ایمپلنت ها همانطور که در شکل (1-a) نشان داده شده است به گونه ای است که سر پیچ های داخل فریم قرار می گیرند. abutment



شکل (1) نحوه توزیع بار بر روی مدل.

۴ - در بخش انتهایی در سمت دندان های آسیاب بزرگ نیروی 30 N در سمت چپ و 36 N در سمت راست.

مواد بکار رفته در مدل ها

موادی که مدل ها از آن تشکیل شده اند بدین ترتیب می باشند:

برای بررسی تأثیر این مواد در نحوه توزیع تنش ۱۲ مدل متفاوت با ۱۲ نوع ترکیب مختلف از مواد تحلیل شده است. جدول (۱) وضعیت مواد به کار رفته در مدل ها را نشان می دهد.

جنس داندان ها از procelain و پیچ های نگهدارنده از آلیاژ طلا می باشد. مشخصات مکانیکی تمام مواد مورد استفاده در این تحقیق در جدول (۲) ارائه شده است.

جدول (۲) مشخصات مکانیکی مواد.

<i>Matrial</i>	<i>Modulus of Elasticity (E) MPa</i>	<i>Possion's Ratio (v)</i>
آلیاژ کرم کبالت	۲۲۵۰۰	۰/۲
تیتانیوم	۹۷۰۰۰	۰/۳
آلیاژ نقره پالادیوم	۹۵۰۰۰	۰/۲
آلیاژ طلا	۱۰۰۰۰۰	۰/۲
آلیاژ تیتانیوم	۱۱۷۰۰۰	۰/۲۵
پورسلین	۸۲۰۰۰	۰/۲
استخوان کورتیکال	۱۲۷۰۰	۰/۲
استخوان کانسلوس	۱۳۷۰	۰/۲

توزیع تنش در مدل

در پیچ ها ماکریزم تنش در پیچ اول از سمت راست اتفاق می افتد که در شکل (۲) توزیع تنش و ناحیه بروز تنش ماکریزم نشان داده شده است. در ایمپلنت ها نیز ماکریزم تنش در ایمپلنت اول اتفاق می افتد که در شکل (۳) نحوه توزیع تنش نشان داده شده است.

شکل (۴) توزیع تنش در استخوان فک را نشان می دهد که در لایه کورتیکال مقدار آن بسیار بیشتر است. در شکل (۵) توزیع تنش در سطح پایینی فریم دیده می شود که تمرکز تنش در سطح پایینی فریم دیده می شود و در نقطه نشستن فریم بر روی ایمپلنت این مقدار حداقل است.

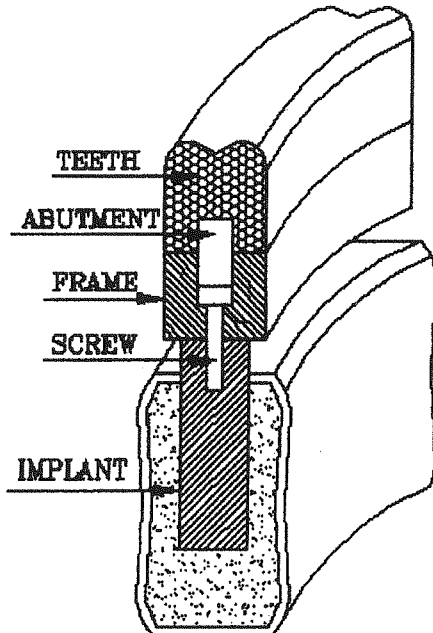
در شکل (۶) این نکته نمایان تر می باشد.

نتایج و نمودارها

پس از انجام آنالیز، ماکریزم تنش در هر یک از اجزاء در ۱۲ مدل محاسبه شده و در نمودارهای ۱ تا ۶ با یکدیگر مقایسه شده است. با مقایسه این مقادیر در نمودار (۳) که مربوط به ماکریزم تنش در پیچ نگهدارنده است، مشاهده می شود که در مدل ۱، ۳، ۹، ۱۰ و ۱۱ بهترین شرایط از لحاظ پایین بودن تمرکز تنش، برقرار

استخوان فک از دو بخش تشکیل می شود، استخوان اسفنجی که بخش اصلی استخوان اصلی استخوان را تشکیل می دهد و استخوان کورتیکال که به صورت یک پوسته به ضخامت ۵/۰ mm بر روی استخوان اسفنجی قرار می گیرد. برای ایمپلنت از سه ماده تیتانیوم خالص (Pure Ti)، آلیاژ تیتانیوم - آلومینیم - و انادیوم (Ti-Al-V) آلیاژ کرم کبالت (کرم - کبالت - مولیبدن - Cr-Co-Mo) استفاده گردیده است.

برای فریم از چهار ماده آلیاژ تیتانیوم (Ti-Al-V)، آلیاژ کرم کبالت، آلیاژ نقره پالادیوم (Ag-Pd) و طلا استفاده شده است.



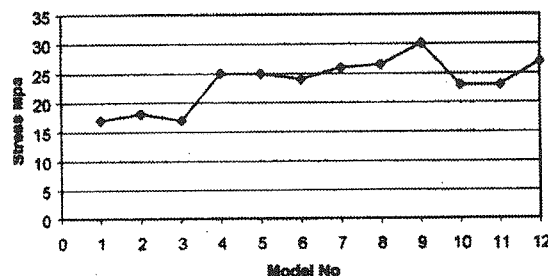
شکل (۲) مقطع بروز و استخوان مندبیل.

جدول (۱) مشخصات مواد تشکیل دهنده مدل ها.

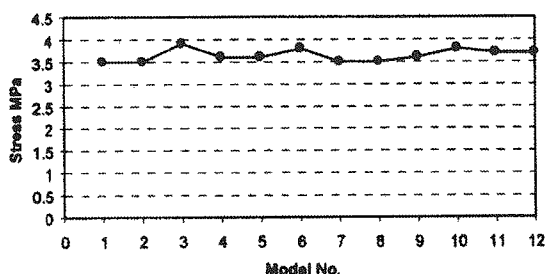
<i>Mod No.</i>	<i>Implant</i>	<i>Fram Work</i>
۱	آلیاژ کرم کبالت	آلیاژ کرم کبالت
۲	تیتانیوم	آلیاژ کرم کبالت
۳	آلیاژ کرم کبالت	آلیاژ کرم کبالت
۴	آلیاژ تیتانیوم	آلیاژ نقره پالادیوم
۵	تیتانیوم	آلیاژ نقره پالادیوم
۶	آلیاژ کرم کبالت	آلیاژ نقره پالادیوم
۷	آلیاژ تیتانیوم	آلیاژ طلا
۸	تیتانیوم	آلیاژ طلا
۹	آلیاژ کرم کبالت	آلیاژ طلا
۱۰	آلیاژ تیتانیوم	آلیاژ تیتانیوم
۱۱	تیتانیوم	آلیاژ تیتانیوم
۱۲	آلیاژ کرم کبالت	آلیاژ تیتانیوم

می باشد. از آنجائیکه حساس‌ترین بخش مدل به دلیل کوچکی ابعاد، پیچ‌ها می باشند و بالاترین احتمال بروز شکست در آنها وجود دارد، انتخاب مدل مناسب را برای این مقدار تنفس این پیچ‌ها قرار می دهیم. در نمودار (۲) مقاومت تنفس در ایمپلنت‌ها در هر مدل ارائه شده است. بررسی تمرکز تنفس در ایمپلنت‌ها نیز دارای اهمیت ویژه‌ای است، چرا که تعویض ایمپلنت‌ها در صورت بروز شکست برخلاف سایر اجزاء دارای دشواری‌های بیشتری است.

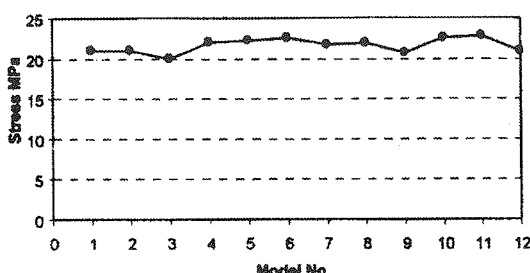
در مجموع با توجه به نمودارها و استحکام مواد بکار رفته مدل شماره ۱ بهترین مدل معرفی می‌گردد و پس از آن مدل شماره ۳ از شرایط نسبتاً مناسبی برخوردار می باشد.



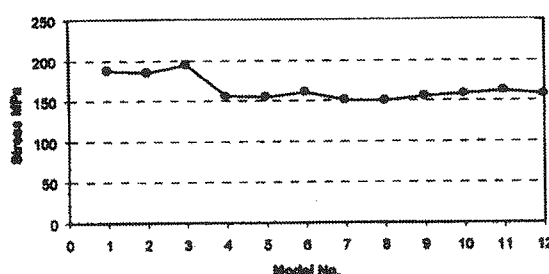
نمودار (۴) مقاومت تنفس در abutment.



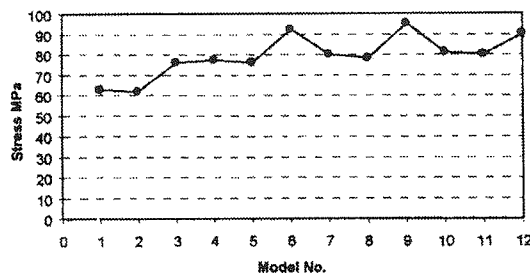
نمودار (۵) مقاومت تنفس در استخوان کوتیکال.



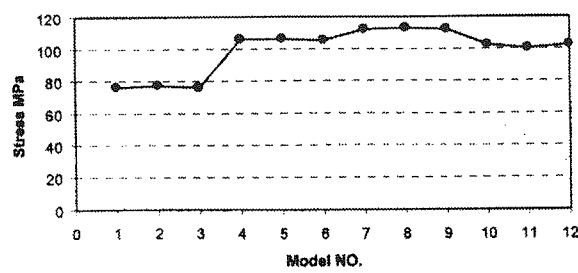
نمودار (۶) مقاومت تنفس در استخوان.



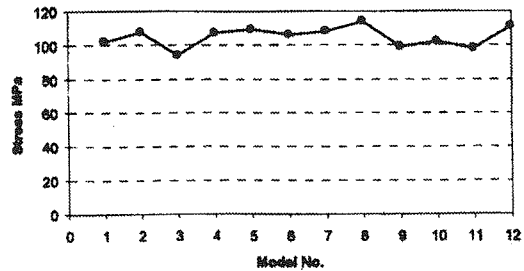
نمودار (۱) مقاومت تنفس در فریم.



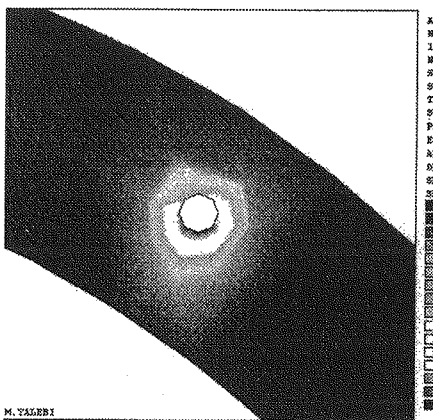
نمودار (۲) مقاومت تنفس در ایمپلنت‌ها.



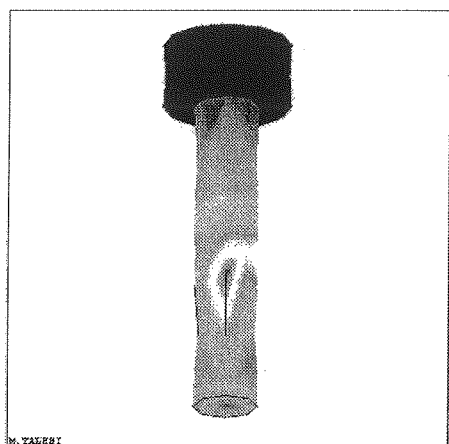
نمودار (۷) مقاومت تنفس در دندان.



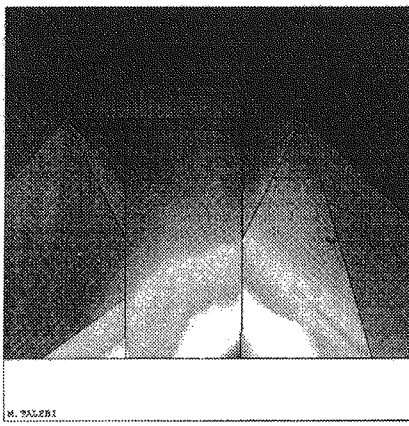
نمودار (۳) مقاومت تنفس در پیچها.



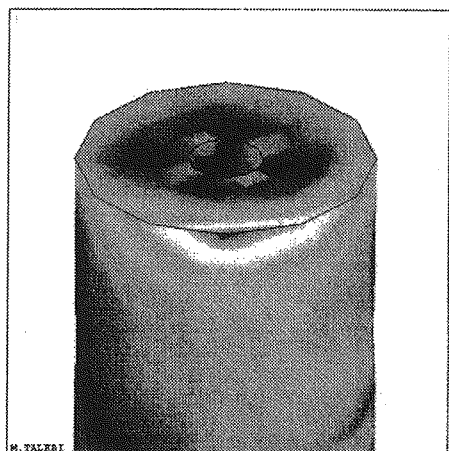
شکل (۴) توزیع نش در محل سوراخ بیج.



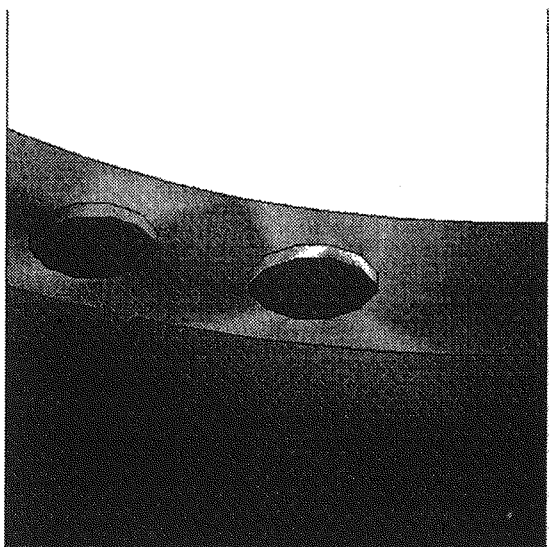
شکل (۲) توزیع نش در بیج نگهدارنده.



شکل (۵) توزیع نش در محل قرار گرفتن بیج در داخل فریب.



شکل (۳) توزیع نش در ایمپلنت.



شکل (۶) توزیع نش در استخوان فک.

مراجع

- [1] A. Laszloffy, J. Long, A. Patra, "Simple Data Management, Scheduling and Solution Strategies for Managing the Irregularities in Parallel Adaptive hp finite Element Simulations" Parallel Computing, Vol. 26, 2000, (1765-1788).
- [2] Atilla Sertgoz, "Finite Element Analysis Study of the effect of superstructure material on stress distribution in an fixed prosthesis", International J. of Prosthodontics, 1997, Vol. 10 No. 1, (19-27).
- [3] skalak R., "Biomechanical considerations in osseointegrated prosthesis", J. of prosthet Dent., 1983; Vol. 49 (843-848).
- [4] Sertagoz A., Guvener S., "Finite Element Analysis of the effect of cantilever and implant length on stress distibution in an implant supported prosthesis",
- [5] Philips R. W., "Science of Dental Materials", Ed. 9, Philadelphia Saunders, 1991; 369.
- [6] Hart R. T., Henneblel VV, Thongpreda N, Van Buskirk WC, Anderson RC, "Modeling the biomechanics of the Mandible a three dimentional finite element study", J. of Biomechanics 1992; 25: (261-286).
- [7] Del Valle V, Faulkner G, Wolfaardt J. "Craniofacial osseointegrated implant-induced strain distribution: a numerical study" Int. J. Oral Maxilloface Implants 1997; 12: 200-210.
- [8] Benzing UR, Gall H, Weber H. Biomechanical aspects of two differnt implant-prosthetic concepts for edentulous maxillae. Int J. Oral Maxillofac Implants 1995; 10: (188-198).
- [9] Y. C. Yang, Edvard Chang, B. H. Hwang, S. Y. Lee. Biaxial residual stress states of plasma-sprayed hydroxyapatite coatings on titanume alloy substrate. Biomaterials 21, 2000; (1327-1337).
- Kamposiora P, Papavasiliou G, Bayne SC, Felton DA. Finite element anaestimates of cement microfracture under complete veneer crowns. J of prosthet Dent 1994; 71: (435-441).